

## I型エリの横倒れ座屈強度

名古屋大学助教授 正員 福本勝士  
名古屋大学大学院 学生員 ○藤原 稔

はじめに

梁の横倒れ座屈に関しては、今世紀初めから各種の理論的研究が行なわれて以來か、部材が非弾性性状を示すわゆる弾塑性域における梁の横倒れ座屈の問題を理論的に取り扱ったのは、1950年B.G.Nealが最初である。彼は完全弾塑性性状を示す矩形断面梁がその両端に等モーメントを受けてときの梁の弾塑性域の横倒れ座屈問題を固有値問題として取り扱い、 $M_{cr}$ を部材長、弱軸をわたり曲げ剛度を  $J$  とする St.Venant の振り剛度の関数として step-by-step に求め、実験値とよく合うことを示している。弾塑性域の座屈において一番問題となる部材の降伏による剛性の変化を彼はつづつ追うことに考えている。すなはち降伏によって弱軸をわたり曲げ剛度は低下し、St.Venant の振り剛度は変化せず、warpingに対する振り剛度は延移断面においては無視しうるとして取扱っている。また M.R.House は 1950 年、前述の B.G.Neal の方法を用いて I 型断面梁の両端に等モーメントを受けて場合と、梁の中央に集中荷重を受けて場合について I 型断面の曲げ振れを考慮して振り剛度は部材の降伏によって低下しないものとして横倒れ座屈問題を解いている。1952 年に W.H.Wittrock は B.G.Neal の方法を拡張して直硬化域を有する矩形断面部材の横倒れ座屈問題を、B.G.Neal の等価弾性係数理論を用いたのに対し等価弾性係数理論を用いて解いている。1956 年、M.W.Whitney は直硬化域を有するワイドフランジ梁が両端に大きさの異なる等モーメントを受けてときの梁の横倒れ座屈を等線弾性係数理論を用いて差分法によつて解いたが、この研究の座屈強度計算法を用いたときの側方支持間隔の設計方法の基礎となつたのである。1957 年、T.V.Galambos は左端に  $\phi$  で生じた残留応力がワイドフランジ梁の弾塑性域における横倒れ座屈強度に手を及ぼす影響を研究し、モーメントの他に部材に軸力が作用した場合の軸力-モーメント-細長比の相関曲線を之の部材断面について得ているが、この研究の結果、残留応力が部材内に存在すると偏心圧縮柱の場合とくに横倒れ座屈強度が低下することが明らかになつた。

座屈強度と端部拘束条件

両端単純支持の梁が図-1 のよろに梁の両端に強軸をわたり等モーメント  $M_0$  を受けると、この梁の座屈変形の基礎微分方程式は次式で与えられる。

$$EI_x \psi'' - M_0 = 0 \quad \cdots (1)$$

$$EI_y \psi''' - \phi M_0 = 0 \quad \cdots (2)$$

$$C\phi' - C_1 \phi'' + \psi''' M_0 = 0 \quad \cdots (3)$$

(2), (3) 式から  $\psi$  を消去すると梁の横倒れ座屈変形の中に関する基礎式がつづくよう得られる。

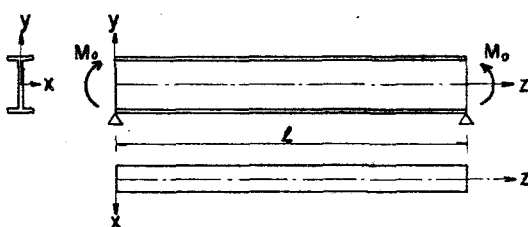


図-1 座標系

$$\phi''' - 2\alpha\phi'' - \beta\phi = 0 \quad \cdots(4)$$

$$\therefore \alpha = C/2C, \quad \beta = M_0^2/EI_y C, \quad \cdots(5)$$

(4)式の一般解は  $\phi = A_1 e^{mz} + A_2 e^{-mz} + A_3 e^{nz} + A_4 e^{-nz}$

$$\therefore \phi = A_1 \sin mz + A_2 \cos mz + A_3 e^{nz} + A_4 e^{-nz} \quad \cdots(6)$$

$$\therefore m = \sqrt{-\alpha + \sqrt{\alpha^2 + \beta}}, \quad n = \sqrt{\alpha + \sqrt{\alpha^2 + \beta}} \quad \cdots(7)$$

(7), (7)式の  $\alpha, \beta$  を消去すると横倒れ座屈モーメント  $M_{cr}$  の式が得られる。

$$M_{cr} = m \sqrt{EI_y C} \sqrt{1 + m^2 \frac{C_1}{C}} \quad \cdots(8)$$

$$\text{いま } m = \pi/kL \text{ とすと } k < \infty$$

$$M_{cr} = \frac{\pi \sqrt{EI_y C}}{kL} \sqrt{1 + \left(\frac{\pi}{kL}\right)^2 \frac{C_1}{C}} \quad \cdots(9)$$

ここで両端単純支承梁の横倒れ座屈の場合と、中心圧縮柱のオイラー座屈の場合と同様に  $R/L$  を無視して座屈有効長として取り扱うことができる。

いま両端に平行の中央境界条件として  $\phi = \phi'' = 0$  を考慮すると座屈条件式は  $\phi = \phi'' = 0$  となる。

$$\sinh nl \sin nl = 0 \quad \cdots(10)$$

$$\therefore l = m\pi, \quad \text{すなはち } (7) \text{ 式において } R = L \text{ といつては場合1しかならぬ}.$$

$\rightarrow$  2つめ両端に平行で  $\phi = \phi'' = 0$  の場合を考慮すると座屈条件式は  $\phi = \phi'' = 0$  となる。

$$2mn(1 - \cos nl \cosh nl) = (m^2 - n^2) \sin nl \sinh nl \quad \cdots(11)$$

$$\therefore l = (5), (7) \text{ 式から } n^2 - m^2 = C/C_1, \quad \cdots(12)$$

1つめ、(12)式から  $C_1^2/C$  と  $m$  の関係を数値計算して

求め、 $R$  と  $C_1^2/C$  の関係を図示すると図-2 が得られる。

$C_1^2/C$  の無限大になると  $R$  は 1 に近づき、 $\phi = \phi'' = 0$  の場合に近くなる。

$R = C_1^2/C$  の場合は warping が無視できる場合では  $R$  は 0.5 となる。

ただし、上述の議論は梁の両端の境界条件として  $u = u'' = 0$  を満足するとき

だけ可能である。それ以外の部材の拘束条件の場合には微分方程式による解法の困難さなど

がある。

図-3: 木すらうの断面形を有する I 型梁 (AISC規格: 10B15) の図-4 がよ

る各種異なり、境界条件をもって、その両端に等モーメントを受けてと、横倒れ

座屈モーメント  $M_{cr}$  及びエネルギー法によつて近似的に求めると、図-5 の曲線 a,

b, c, d のようになる。

実際の構造物においては図-4 に示したような境界条件が理想的に満足されていることはほとんどなくて、それらの中間に位置するものが多い。

したがつて曲線 a, d はそれらの上限、下限を示すものと考えら

る。

図-3: 木すらうの断面形を有する I 型梁 (AISC規格: 10B15) の図-4 がよ

る各種異なり、境界条件をもって、その両端に等モーメントを受けてと、横倒れ

座屈モーメント  $M_{cr}$  及びエネルギー法によつて近似的に求めると、図-5 の曲線 a,

b, c, d のようになる。

実際の構造物においては図-4 に示したような境界条件が理想的に満足されていることはほとんどなくて、それらの中間に位置するものが多い。

したがつて曲線 a, d はそれらの上限、下限を示すものと考えら

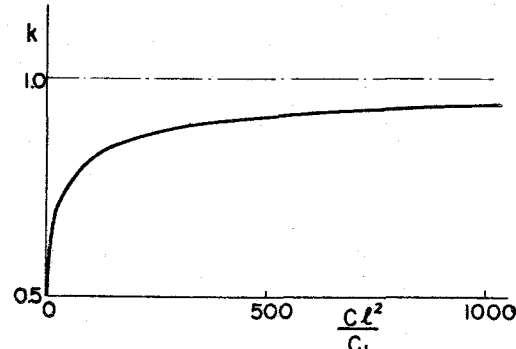


図-2 梁の有効長

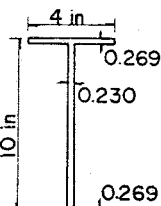


図-3: 木すらうの断面形を有する I 型梁 (AISC規格: 10B15) の図-4 がよ

る各種異なり、境界条件をもって、その両端に等モーメントを受けてと、横倒れ

座屈モーメント  $M_{cr}$  及びエネルギー法によつて近似的に求めると、図-5 の曲線 a,

b, c, d のようになる。

実際の構造物においては図-4 に示したような境界条件が理想的に満足されていることはほとんどなくて、それらの中間に位置するものが多い。

したがつて曲線 a, d はそれらの上限、下限を示すものと考えら

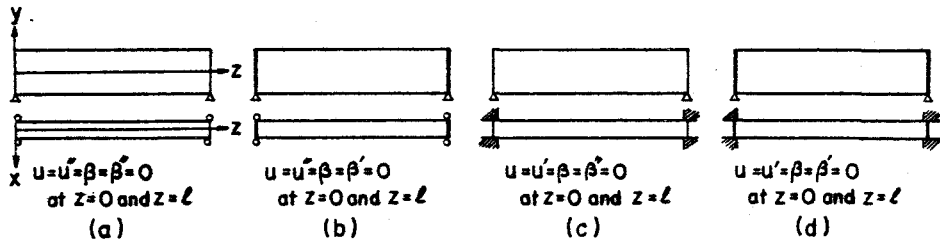


図-4 梁の種々の境界条件

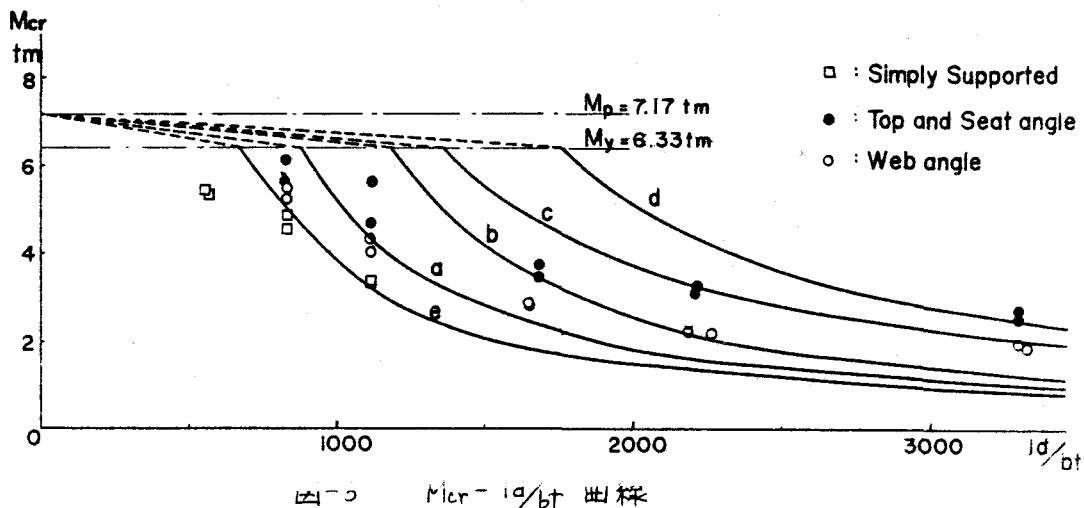


図-5  $M_{cr} = I_d/b_t$  出線

n.3. 図中の  $My$  は I 型梁の最外縁が降伏点に達したときに部材に作用しているモーメント すなは  $M_p$  の部材、全断面が曲げによつて塑性状態に達したときに部材に作用しているモーメントである。実際のモーメントが  $M_p$  以上に達するとはありえない。本項では側面屈屈を問題にしていゝので、 $My$  から  $M_p$  に至る間を便宜的に破線で結んだ。曲線 a, b, c, d によつてわかるように側面屈屈の場合には部材の拘束状態によつて  $M_{cr}$  が非常に異なつて、實際に構造物を設計する場合にはこのことを注意する必要がある。以下図-5 には R.A. Hecktaan が 1955 年に得た、図-6 に示すような 2 点載荷、I 型梁横倒れ座屈実験の結果をプロットしてある。この図で Top and Seat angle とあるのは I 型梁の上下フランジを両端で拘束したもので、境界条件  $u = u' = \beta = \beta' = 0$  に相当し、図-6 載荷状態 Web angle とあるのはウェブを拘束したもので、 $u = u' = \beta = \beta' = \text{const.}$  に相当する。この曲線 a は 2 点載荷、単純支持梁に対する理論曲線である。この実験と前述の等モーメントの場合とで載荷方法が異なるが、梁、モーメント分布が異なるが、部材の拘束条件が座屈強度に対してどのような影響を及ぼしていることがこの実験結果からもわかる。

#### 参考文献

- G.C. Lee, "A Survey of Literature on the Lateral Instability of Beams," Bull. WRC, No. 63, Aug. 1960.  
R.A. Hecktaan, "Lateral Buckling of Rolled Steel Beams," Trans. ASCE, Vol. 122 - 1957.